

~~САГИ~~

ОТДЕЛЕНИЕ НАУЧНО-ТЕХНИЧЕСКОЙ ИНФОРМАЦИИ

ТЕХНИЧЕСКАЯ ИНФОРМАЦИЯ

Прогресс в разработке винтовентиляторных двигателей	1
Методы оптимизации в авиастроении	13

ТЕХНИЧЕСКАЯ ИНФОРМАЦИЯ

(ОБЗОРЫ И РЕФЕРАТЫ
ПО МАТЕРИАЛАМ ИНОСТРАННОЙ ПЕЧАТИ)

ОТДЕЛЕНИЕ
НАУЧНО-ТЕХНИЧЕСКОЙ
ИНФОРМАЦИИ

№ 23 (1453)

Декабрь 1982 г.

XLIII год издания

УДК 629.735.33.03.01 «71» (73)

ПРОГРЕСС В РАЗРАБОТКЕ ВИНОВЕНТИЛЯТОРНЫХ ДВИГАТЕЛЕЙ*

Деятельность промышленных и государственных организаций по достижению существенного улучшения силовых установок перспективных дозвуковых самолетов в отношении экономии энергии привела к определению концепции винтовентилятора и осуществлению крупных исследовательских программ. Программы исследования винтовентиляторов оказались очень успешными, и, как полагают, первоначальные оценки возможной значительной экономии топлива останутся справедливыми. Существует возможность экономии порядка 23 млрд. л топлива в коммерческой авиации в 1990-х годах при условии, что будут ускорены остальные программы обеспечения технической готовности новых винтовентиляторных двигателей и самолетных систем начиная с середины 1980-х годов. В течение последних пяти лет при финансовой поддержке NASA и промышленности была разработана основная программа по созданию винтовентиляторных двигателей, которая дает реальную основу для ускоренного завершения остальных программ.

Концепция винтовентиляторной силовой установки объединяет следующие перспективные разработки и элементы турбовинтовых и двухконтурных двигателей: высокую нагрузку на ометаемую площадь, саблевидные лопасти, аэродинамически совершенную мотогондолу на крыле, современный турбовальный двигатель. Винтовентилятор представляет собой открытый вентилятор или вентилятор без кожуха, снабженный двигателем того же уровня техники, что и конкурирующий с ним ТРДД. В результате такого сочетания получается силовая установка, которая характеризуется значительно меньшим удельным расходом топлива, чем сопоставимая силовая установка на базе ТРДД.

Было проведено большое число исследований по применению таких силовых установок в дозвуковой авиации, и все эти исследования показали значительную экономию топлива, получаемую при использовании турбовентиляторного двигателя (ТВВД). Возможность экономии топлива при применении перспективных самолетов с ТВВД состав-

ляет 15—20% для коммерческой авиации и 25—35% для военной авиации (самолеты боевого патрулирования) в сравнении с самолетами с ТРДД того же технического уровня. Получаемый эффект зависит от конкретного назначения самолета, от крейсерской скорости, дальности полета и других требований. Эти исследования касались также требований к самолетам с ТВВД с целью обеспечения уровней шума и вибраций в кабине и крейсерской скорости, как у самолетов с ТРДД.

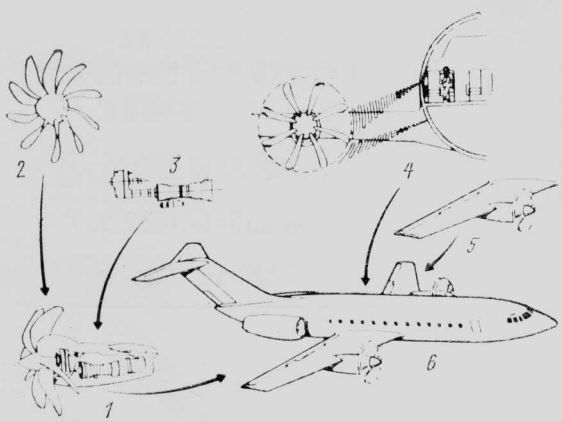
Так как стоимость топлива составляет в настоящее время 50—60% прямых эксплуатационных расходов (ПЭР), то экономия топлива может приводить к значительному сокращению этих расходов (8—12%). В дополнение к экономии топлива и сокращению расходов самолет с ТВВД может иметь более низкий уровень шума на режиме взлета и посадки по сравнению с требованиями FAA для новых самолетов. Для них могут быть использованы более короткие ВПП, чем для подобных самолетов с ТРДД.

Исследованные различные применения самолетов с ТВВД проводились в основном при обычной длине ВПП и при крейсерской скорости, соответствующей $M=0,7—0,8$. Хотя этот скоростной диапазон является главной целью разрабатываемых программ, продемонстрированные достижения могут применяться при проектировании воздушного винта или винтовентиляторов для самолетов, рассчитанных на числа $M=0,6—0,85$.

Техническое совершенствование двигателей и самолетов с этими двигателями взаимосвязано и требует работы как над отдельными наиболее важными элементами, так и над всей системой в целом (рис. 1). Программы разработки компонентов ротора винтовентилятора, двигателя и редуктора, звукоизоляции фюзеляжа и исследований по взаимоувязке крыла с двигателем включают в себя изучение требований к отдельным элементам, а также оценки влияния других, связанных с ними элементов силовой установки. Например, в настоящее время определяются скорости потока за винтовентилятором, исследуется влияние закрученности потока на работу воздухозаборника и характеристики крыла. Уровням шума ротора на режиме крейсерского полета с большой скоростью также уделяется первостепенное внимание при проектировании фюзеляжа и исследованиях по минимиза-

* Gatzen B. S., Adamson W. M. Prop-fan technical progress leading to technology readiness.

AIAA Paper N 81—0810.



1—силовая установка; 2—ротор; 3—двигатель и редуктор; 4—звукозащита фюзеляжа; 5—компоновка двигателя на крыле; 6—летные испытания двигателя и систем силовой установки

Рис. 1. Технические проблемы создания ТВВД

ции шума в кабине. На рис. 1 представлена схема модификации существующего самолета для оценки в полете всех относящихся к этой проблеме технических решений в целом.

Специальные технические разработки для винтовентилятора были начаты в 1976 г. фирмой Гамильтон Стандарт и NASA. Первые программы исследований на маломасштабных моделях подтвердили возможность получения высокого КПД, необходимого для достижения большой экономии топлива. Последующие дополнительные испытания на моделях и разработка аналитических методов расчета были также успешны и подготовили основу для начала программы исследований на крупномасштабных моделях.

Такая программа была начата NASA в 1981 г. Ее основные задачи — определение оценки влияния на прочность винтовентилятора масштабного эффекта, непрерывное совершенствование модели и методов для изучения проблем взаимоувязки крыла с двигателем и повышения комфорта в кабине, необходимых для перехода к программе летных испытаний. Перечень законченных и осуществляемых технических программ представлен на рис. 2 наряду с дополнительными программами, которые требуются для завершения оценки концепции и запуска программы разработки серийных двигателей. Приведенный перечень программ отражает

ускорение и расширение планов, представленных ранее. Ускорение программы летных исследований NASA произошло согласно общей рекомендации конференции по винтовым силовым установкам, состоявшейся в Дейтоне (шт. Огайо) в апреле 1980 г. На конференции присутствовало более 150 представителей самолетостроительных и двигателестроительных фирм, военных организаций и авиакомпаний из США и других стран. Специальная комиссия по разработке энергетически эффективного самолета комитета по авиационно-космической технике национального научно-исследовательского совета также дала рекомендации ускорить осуществление программ ТВВД. За ускоренную программу, подобную представленной на рис. 2, высказались также представители авиакомпаний и промышленности (авиакомпании Юнайтед Эрлайнз, Федерал Экспресс, фирмы Дуглас, Локхид, Пратт-Уитни, группа по системам управления фирмы Юнайтед Текнолоджи). Рекомендации были представлены подкомитету по транспорту, авиации и материалам палаты представителей конгресса США и подкомитету по науке, технике и космосу сената во время обсуждений бюджетных ассигнований NASA в феврале — марте 1981 г.

Представители NASA указали, что ускоренная программа могла бы быть завершена при увеличении бюджетных ассигнований. Этапы разработки ТВВД, показанные на рис. 2, должны включать проверку в летных испытаниях комфорта кабины, совместимости двигателя с воздухозаборником, а также прочности и надежности двигателя. Для привода винтовентилятора во время летных испытаний на существующем самолете с установленными на нем системами винтовентилятора и отсеками фюзеляжа, видоизмененными с точки зрения акустики, будут использованы существующий двигатель и модифицированный редуктор. Параллельно этим работам будет развиваться программа по усовершенствованию двигателя, осуществление которой продемонстрирует техническую готовность надежного редуктора высокой мощности и решенность проблем взаимоувязки ротора винтовентилятора и газогенераторного контура двигателя, работающего при высоких температурах и давлениях. Если «техническая готовность» будет подтверждена в программах NASA в период 1985—1986 гг., то промышленными фирмами может быть начато осуществление программ разработки серийного варианта ТВВД, в результате чего новый самолет может поступить в эксплуатацию в начале 1990-х годов. Следующие пять лет необходимы, чтобы в реальных условиях окончательно убедиться в возможности создания с помощью этих технических усовершенствований качественного скачка в авиации 1990-х годов.

Эффект экономии топлива за счет высокого КПД винтовентилятора для транспортного самолета с числом Маха в крейсерском полете 0,7—0,8 является дополнением ко многим другим научно-техническим усовершенствованиям, обеспечивающим экономию топлива, которые должны быть реализованы к середине 1980-х годов: непрерывное повышение эффективности элементов газогенератора двигателя, улучшение аэродинамических характеристик и усовершенствование конструкции самолета. На рис. 3 иллюстрируется резкое повышение (бо-

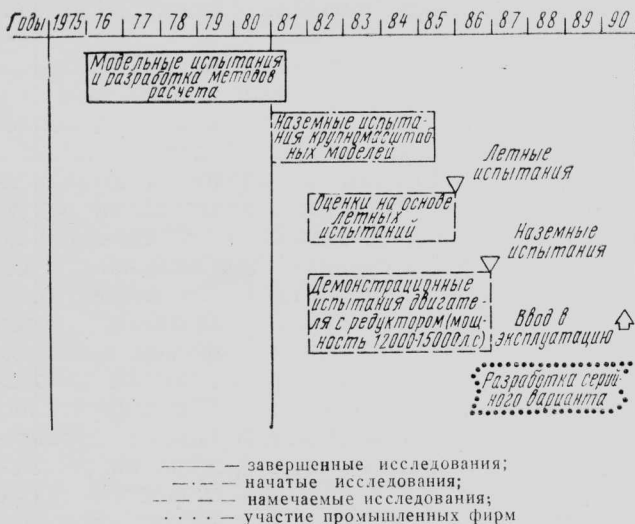


Рис. 2. Программа исследований винтовентилятора

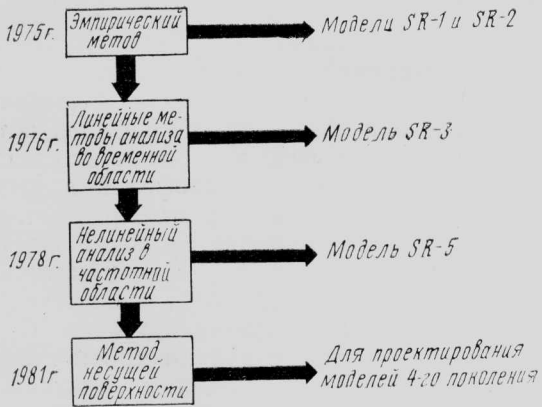
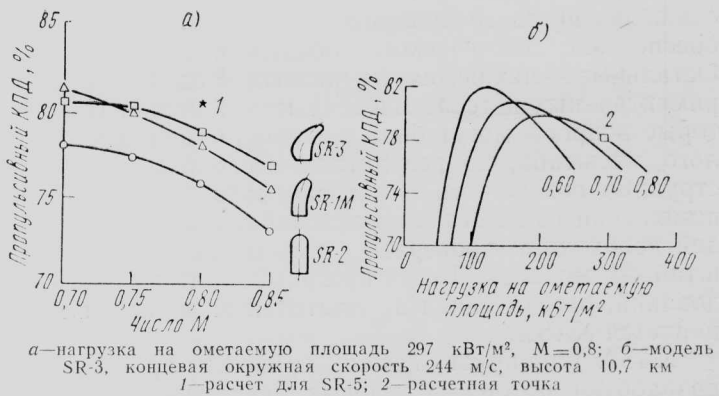


Рис. 7. Исследования шума винтовентилятора

обусловлено фазовым рассогласованием акустических сигналов из периферийных и средних областей винта, в результате чего наблюдаются частичное взаимное ослабление этих сигналов и снижение уровня шума.

В разработанном в последнее время методе акустического расчета применяется анализ в частотной области, включая линейные и нелинейные источники шума. Понятие взаимного ослабления акустических сигналов вследствие их фазового рассогласования базируется на основном допущении линейной акустики о том, что звуковое давление в любой точке может быть рассчитано как сумма давлений, создаваемых каждым элементом объема и площади поверхности источника звука, при этом учитываются амплитуды и фазы акустических сигналов. Для многих обычных турбовинтовых двигателей изменениями фазы по хорде и по размаху лопасти можно пренебречь без существенного проигрыша в точности расчета. Однако для винтовентилятора эти изменения становятся более важными для точности расчета вследствие присущих ему больших чисел M потока, большого числа лопастей и больших отношений хорды лопасти к диаметру. Достаточно большой угол саблевидности лопастей позволяет исключить составляющие нелинейного источника из суммарного акустического сигнала и приводит к тому, что эффект взаимного фазового ослабления сигналов приобретает важное значение для снижения уровня шума винтовентилятора в крейсерском полете. Фазовое ослабление оказывает также существенное влияние на уровень шума в дальнем поле сбоку от ВПП на режимах взлета и посадки, регламентируемые требованиями по шуму FAR 36. Однако на этих режимах окружная скорость на концах лопастей является дозвуковой, поэтому в данном случае не должно быть трудностей, связанных с удовлетворением требований FAR 36.

Программа исследований по аэродинамике винтовентилятора направлена на изучение КПД изолированного воздушного винта и характеристик винта в компоновке с крылом. Начиная с 1976 г. было испытано три поколения моделей, некоторые из них на двух установках НИЦ им. Льюиса (NASA) и НИЦ фирмы Юнайтед Текнолоджи (UTRC). Последние модели были спроектированы лучше благодаря применению усовершенствованных методов расчета. На рис. 8 представлены некоторые данные испытаний, полученные в НИЦ



а—нагрузка на ометаемую площадь 297 кВт/м², $M=0,8$; б—модель

SR-3, концевая окружная скорость 244 м/с, высота 10,7 км

1—расчет для SR-5; 2—расчетная точка

Рис. 8. Характеристики винтовентилятора по данным испытаний, проведенных NASA в 1978 г.

им. Льюиса. Слева изображены измеренные КПД для моделей первого (SR-1 и SR-2) и второго (SR-3) поколений. На модели SR-3 был достигнут КПД несколько ниже 80% для расчетного числа $M=0,8$. КПД более 80% был достигнут в диапазоне чисел $M=0,7—0,75$. Расчетный КПД для модели третьего поколения SR-5 превышает 80%. Результаты более детальных исследований, представленные для модели SR-3 в правой части рис. 8, показывают зависимость КПД от нагрузки на ометаемую площадь при различных числах Маха. Можно видеть, что измеренное значение КПД 80% для $M=0,8$ достигается при нагрузке на ометаемую площадь, несколько меньшей 237 кВт/м², что на 60 кВт/м² меньше расчетной величины 297 кВт/м². С уменьшением числа M максимум КПД возрастает и смещается в сторону меньших значений нагрузки на винт.

Результаты проведенных испытаний подтверждают возможность получения высокого КПД винтовентилятора и, следовательно, возможности экономии топлива. Программа по улучшению акустических характеристик винтовентилятора направлена на изучение шума от различных источников и уровня комфорта внутренних помещений самолета. Испытания моделей проводились в двух трубах: в трубе для акустических исследований НИЦ фирмы Юнайтед Текнолоджи и аэродинамической трубе (АДТ) NASA. Труба НИЦ UTRC обеспечивает возможность точных измерений шума от источника в дальнем поле для случаев, предусмотренных требованиями FAR 36, однако испытания, соответствующие режиму крейсерского полета при большой окружной скорости концов лопастей, проводятся при предельном значении $M=0,3$ в трубе. АДТ НИЦ им. Льюиса позволяет проводить испытания при $M=0,8$, но она мало приспособлена для акустических измерений. В связи с этим в NASA было принято решение о проведении программы летных исследований на самолете «Джет Стар» винтовентилятора при скоростях полета и на высотах, представляющих интерес. Целью исследований на самолете «Джет Стар», начатых в апреле 1982 г., является в основном подтверждение возможности обеспечения требуемого уровня шума в крейсерском полете.

Результаты трубных испытаний приведены на рис. 9. Они ясно показывают, что модели второго поколения с саблевидными лопастями являются значительно менее шумными, чем модели первого

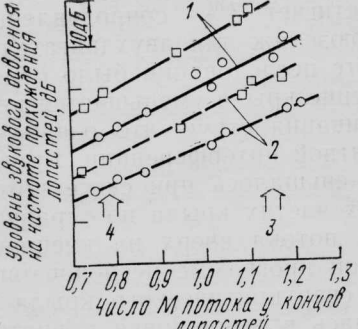


Рис. 9. Результаты акустических испытаний (слева — в трубе НИЦ фирмы Юнайтед Текнолоджи, справа — в трубе NASA при $M=0,8$)

поколения. По результатам, полученным в трубе для акустических исследований центра UTRC, видно, что уровень шума основного тона модели SR-3 с саблевидными лопастями намного ниже на режимах взлета и крейсерского полета в ближнем и в дальнем поле. В то время как режим крейсерского полета моделировался при повышенной окружной скорости концов лопастей, измерения для режима взлета проводились в условиях, более близких к реальным, и они могут быть сопоставлены с требованиями FAR 36. Это сопоставление подтверждает возможность удовлетворить этим требованиям. Можно также видеть, что результаты не претерпевают каких-либо резких изменений при переходе к трансзвуковому режиму обтекания лопастей — линейный характер зависимостей не изменяется. Эти исследования в трубе центра UTRC были использованы для подтверждения расчетного уровня шума в районе аэропорта и проверки методов прогнозирования уровня шума в крейсерском полете. Данные, полученные в АДТ НИЦ им. Льюиса, показывают, что уровень шума модели SR-3 с саблевидными лопастями на 6 дБ ниже, чем у модели SR-2 с прямыми лопастями. Этот результат был предсказан с помощью метода расчета шума для окружной скорости концов лопастей 244 м/с.

Программы исследований на моделях обеспечивают проверку методов расчета аэродинамических и акустических характеристик. Рис. 10 дает представление о точности этих методов. Результаты расчетов довольно хорошо согласуются с данными экспериментальных исследований для всех испытанных моделей. Ошибки были в пределах 0,5% по КПД и 2 дБ по уровню шума. Эта улучшенная методика расчета была использована при проектировании последней модели, имеющей 10 лопастей с большими углами саблевидности. Предполагается, что эта модель, получившая обозначение SR-5, будет иметь значительные преимущества по сравнению с лучшей предыдущей моделью SR-3. Расчетное значение КПД для условий эксплуатации при $M=0,7$ — $0,8$ будет превышать 80%, а уровень шума в ближнем поле должен быть ниже на 10 дБ по сравнению с моделью SR-2, имеющей прямые лопасти.

Успешное использование результатов испытаний маломасштабных моделей обеспечивается тщательным выбором диапазона чисел Рейнольдса

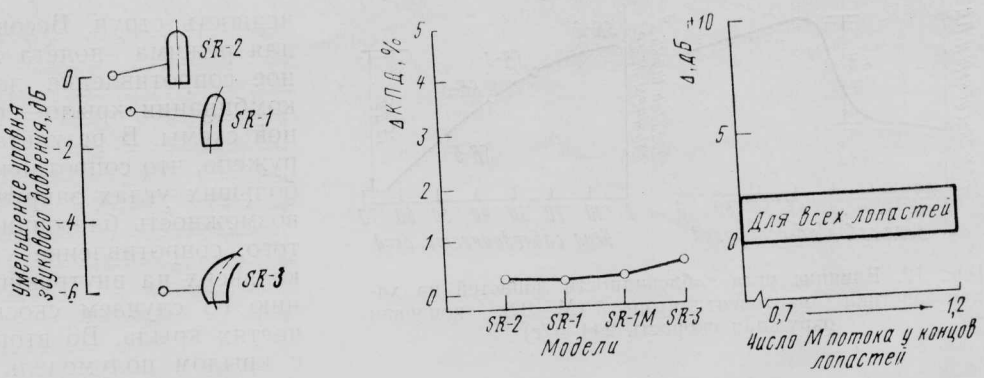


Рис. 10. Оценки точности расчетов аэроакустических характеристик винтовентиляторов ($\Delta\text{КПД}$ — разность между расчетным и экспериментальным КПД; Δ — разность между экспериментальным и расчетным значениями уровней шума на частоте прохождения лопастей)

для каждого компонента аэrodинамической схемы. Например, экспериментальные данные по сопротивлению, представленные на рис. 11 для профилей крыла и пилона, охватывающие широкий диапазон относительных толщин, показывают резкое увеличение сопротивления при уменьшении числа Re ниже критического значения для каждого профиля. Важно отметить, что влияние числа Re уменьшается с уменьшением относительной толщины профиля. Критические числа Рейнольдса для большинства профилей находятся в диапазоне между $0,5 \cdot 10^6$ и $0,8 \cdot 10^6$, и в соответствии с этим было показано теоретически и экспериментально, что модели винтов, масштаб которых обеспечивает числа Re (расчитанные по $3/4$ длины лопасти) выше $(0,7\text{--}0,8) \cdot 10^6$, позволяют получить при испытаниях в АДТ характеристики, близкие к натурным. Для большинства режимов испытаний этим условиям удовлетворяют модели винтовентилятора диаметром 0,61 м, для которых число Re превышает 10^6 . Кроме того, функции источника, входящие в акустическое уравнение, определяются распределением аэродинамической нагрузки по размаху лопасти и ее геометрической формой, а суммирование различных эффектов выполняется в

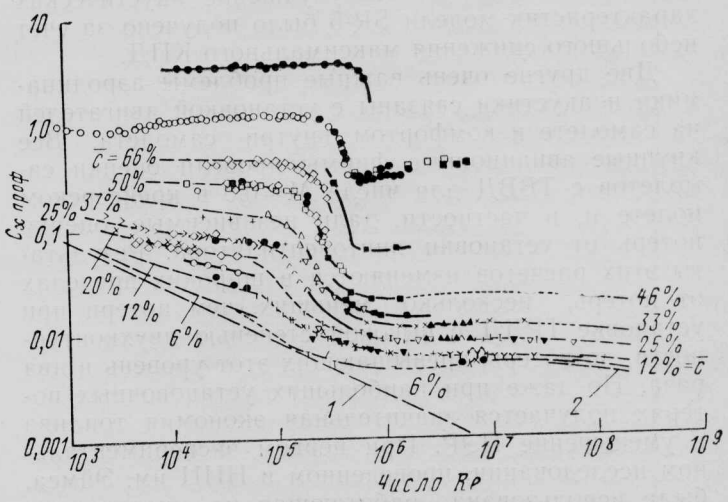


Рис. 11. Зависимость профильного сопротивления от числа Рейнольдса

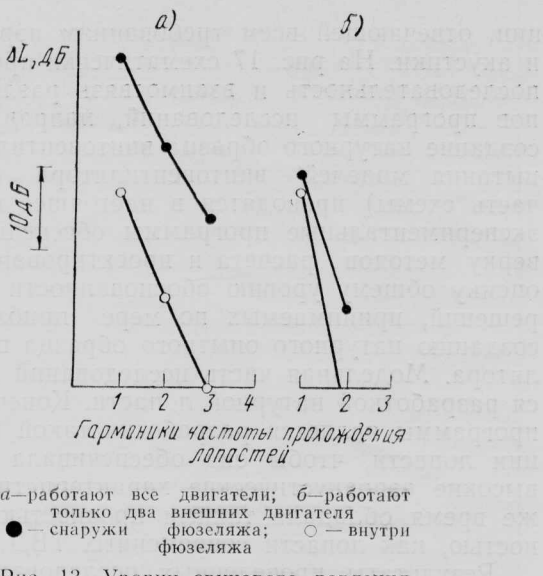
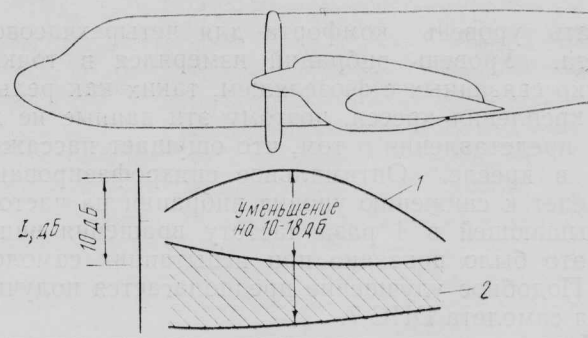


Рис. 13. Уровни звукового давления снаружи и внутри фюзеляжа самолета DHC-7 на режиме крейсерского полета (разность ΔL вычислена относительно $L_0 = 2 \cdot 10^{-5}$ Па)

Голландии по самолету F-27. Для того чтобы установить, как происходит распространение шума, были выполнены исследования на четырехдвигательных самолетах DHC-7 и Р-3 при работе всех двигателей или только двух внешних. Шум внутри самолета и уровень вибраций в непосредственной близости от плоскости вращения винтов мало отличались при сравнении этих двух случаев. Представленные на рис. 13 данные, полученные в результате исследований на более оснащенном аппаратурой самолете DHC-7, показывают ожидаемое значительное снижение уровня шума у внешней стенки фюзеляжа, тогда как уровни шума и вибраций внутри пассажирской кабины практически не отличаются. Это свидетельствует о существенной роли конструкции в распространении шума внутрь кабины. Следует отметить, что уровень шума, измеренный внутри самолета DHC-7 со звукоизоляцией, близок к тому, который намечено обеспечить при использовании винтовентилятора. Уровень шума в кабине изменяется в пределах от 78 до 83 дБА в зависимости от местоположения в кабине. В рамках программы испытаний самолета DHC-7 были выполнены два исследования. Простейшие измерения внутреннего шума были проведены при наличии звукоизоляции во время регулярных полетов и более тщательные — при отсутствии звукоизоляции. Исследования на самолетах DHC-7 и BA-748, во время которых было измерено акустическое давление у наружной поверхности фюзеляжа, показали понижения уровня звукового давления на 20 дБ или более для частот прохождения лопастей винтовентилятора. Это несколько большее значение, чем ожидали получить самолетостроительные фирмы США, но оно хорошо согласуется с оценками фирмы Гамильтон Стандарт, основанными на других экспериментальных данных по турбовинтовому двигателю.

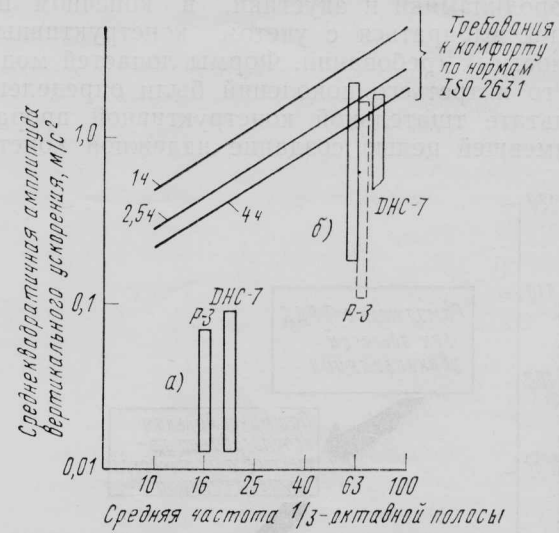
Шум, передаваемый в кабину через воздушную среду и конструкцию, должен быть снижен настолько, чтобы достичь требуемого уровня шума для самолета с винтовентиляторным двигателем.



1 — без синхрофазированием; 2 — с синхрофазированием

Рис. 14. Возможности снижения шума в пассажирской кабине самолета Р-3 с помощью синхрофазирования (частота 68 Гц)

Синхрофазирование дает возможность значительно снизить шум и вибрацию. Этот вывод был сделан при анализе данных испытаний на самолетах Р-3 и DHC-7, представленных на рис. 14 и 15. Существенное снижение шума было достигнуто на самолете Р-3 при синхрофазировании с оптимальным углом сдвига по фазе лопастей четырех ТВД. Возможное снижение шума на частоте прохождения лопастей в кабине около плоскости вращения показано на рис. 14. Анализ данных, полученных на самолете DHC-7, когда работали только близкие к фюзеляжу ТВД, также указывает на значительное снижение уровня шума при синхрофазировании. Если рассматривать первые три тона, то снижение уровня шума составит более 6 дБА. На рис. 15 уровни вибрации в кабинах самолетов для Р-3 и DHC-7 сравниваются с требованиями международного стандарта ISO 2631 — 1978 (Е). Для обоих самолетов учитываются вибрации с частотой вращения винта, обусловленные его несбалансированностью. Вибрации с частотой прохождения лопастей обычно имеют приемлемый уровень для всего самолета, за исключением окрестности плоскости вращения, где уровни шума начинают пре-



а — для первой гармоники частоты вращения; б — для четвертой гармоники частоты вращения

Рис. 15. Уровни вибраций внутри фюзеляжа турбовинтовых самолетов Р-3 и DHC-7 на крейсерском режиме полета (колонки со сплошными линиями — без синхрофазирования, колонки пунктирные — при оптимальном синхрофазировании)

Таблица 3

Программы обеспечения технической готовности ТВВД в будущем

Области исследований	На малых моделях	На крупномасштабных моделях
Аэродинамика винтовентилятора в компоновке на самолете	Испытания с гондолой и крылом	—
Акустика салона: источники шума	Испытания на самолете «Джет Стар»	—
передача звука	Разработка методики	Летные испытания
Конструкция	Разработка методики	Летные испытания
	Разработка аэроупругой модели	
Воздухозаборник	Испытания в АДТ	Летные испытания
Редуктор	—	Стендовые испытания
Двигатель	—	Статические испытания

которых позволит довести исследования по ТВВД до стадии технической готовности. Как указано в этом перечне, достаточно обоснованное решение проблем аэродинамики ТВВД в компоновке на самолете и проблем снижения шума от источника может быть получено на основе результатов испытаний маломасштабных моделей, проводимых в настоящее время. Для того чтобы ТВВД получил признание в авиационной промышленности, необходимо провести крупномасштабные испытания ротора винтовентилятора. Программа этих испытаний должна быть спланирована с учетом своевременности получения ее результатов. Большое значение придается результатам, которые дадут летные испытания винтовентилятора, установленного на крыле, при $M=0,7-0,8$.

Программа летных испытаний крупномасштабной модели винтовентилятора должна включать в себя в качестве подготовительного этапа обычные испытания лопастей и втулки, динамические стендовые испытания и испытания систем двигателя.

Хотя испытания в АДТ малых и больших скоростей дают весьма полезную информацию, они не позволяют получить те данные, касающиеся работы ТВВД в условиях реального полета, которые необходимы для подтверждения технической готовности двигателя. Фирмы Локхид-Джорджия и Дуглас по контрактам с NASA ведут исследования по выбору самолета-летающей лаборатории для испытаний винтовентилятора и по оценке практической ценности и целесообразности трубных испытаний. Обе фирмы предлагают переходить от статических испытаний непосредственно к программе летных испытаний, которая должна включать в себя наземные испытания перед полетами. Такой подход рассматривается как наиболее практичный с технической и экономической точек зрения. Основой для подготовки такой программы является имеющийся опыт разработки турбовинтовых двигателей.

Референт И. А. Котельникова.

Редактор Б. П. Крулев.

УДК 629.7(73)

МЕТОДЫ ОПТИМИЗАЦИИ В АВИАСТРОЕНИИ*

Существует весьма привлекательный раздел прикладной математики, основа его — методы оптимизации, где формальная постановка любой задачи включает в себя выбор основных переменных. Их вариации с учетом наложенных ограничений позволяют достичь оптимума некоторого критерия качества (функционала).

В данной обзорной статье дается оценка методов оптимизации, получивших практическое применение при решении различных задач проектирования и эксплуатации летательных аппаратов, совершающих полет в атмосфере. В таблице перечислены области, где принцип поиска оптимального решения нашел наиболее широкое применение.

На рис. 1 представлена общая схема формализации задач, возникающих в практике проектирования ЛА. Любой из существующих ЛА является «наилучшим», по крайней мере в каком-то прагматичном смысле, ибо в процессе его проектирования

Области авиационных исследований, в которых применяются методы оптимизации

Непрерывное представление (в функциональном пространстве)	Дискретное представление (в векторном пространстве)
Оптимизация траекторий (для одного ЛА)	Формы крыльев с максимальным аэродинамическим качеством
Оптимизация тактики противоборства (для двух ЛА)	Оптимизация распределения масс многоступенчатой ракеты

* Ashley H. On making things the best-aeronautical uses of optimization.

AIAA Paper N 81—1738.

Непрерывное представление (в функциональном пространстве)	Дискретное представление (в векторном пространстве)
Оптимизация систем наведения, навигации и управления ЛА	Сложные конструкции минимальной массы при статическом нагружении
Несущие поверхности и тела наименьшего сопротивления	Сложные конструкции минимальной массы при динамическом нагружении с учетом аэроупругости
Простые конструкции минимальной массы при статическом нагружении	Аэродинамическая компоновка ЛА с минимальной массой или минимальными прямыми эксплуатационными расходами
Простые конструкции минимальной массы при динамическом нагружении с учетом аэроупругости	
Оптимизация систем с распределенными параметрами (например, двумерных конструкций)	

сопоставлялось множество различных вариантов, из которых выбранный соответствует пику некоторой кривой эффективности (по весу, расходам и т. п.). Однако далеко не всегда такой одномерный поиск наилучшего варианта является хорошей аппроксимацией поиска оптимума единого критерия в пространстве многих определяющих независимых переменных. В то же время следует отметить, что многие решения вариационных задач в простейшей постановке оказались весьма полезными в приложениях.

После того как обоснована возможность формального подхода к решению проблемы, переходят к математической постановке оптимизационной задачи (рис. 2). На этом этапе исследования существенно возрастает роль инженерной интуиции и опыта, так как успех решения задачи во многом зависит от рационально выбранной расчетной схемы. Например, в случае оптимизации конструкции весьма важны геометрия и схемы ее элементов, границы занимаемых ими объемов, возможные типы материалов, виды повреждений, режимы нагруз-

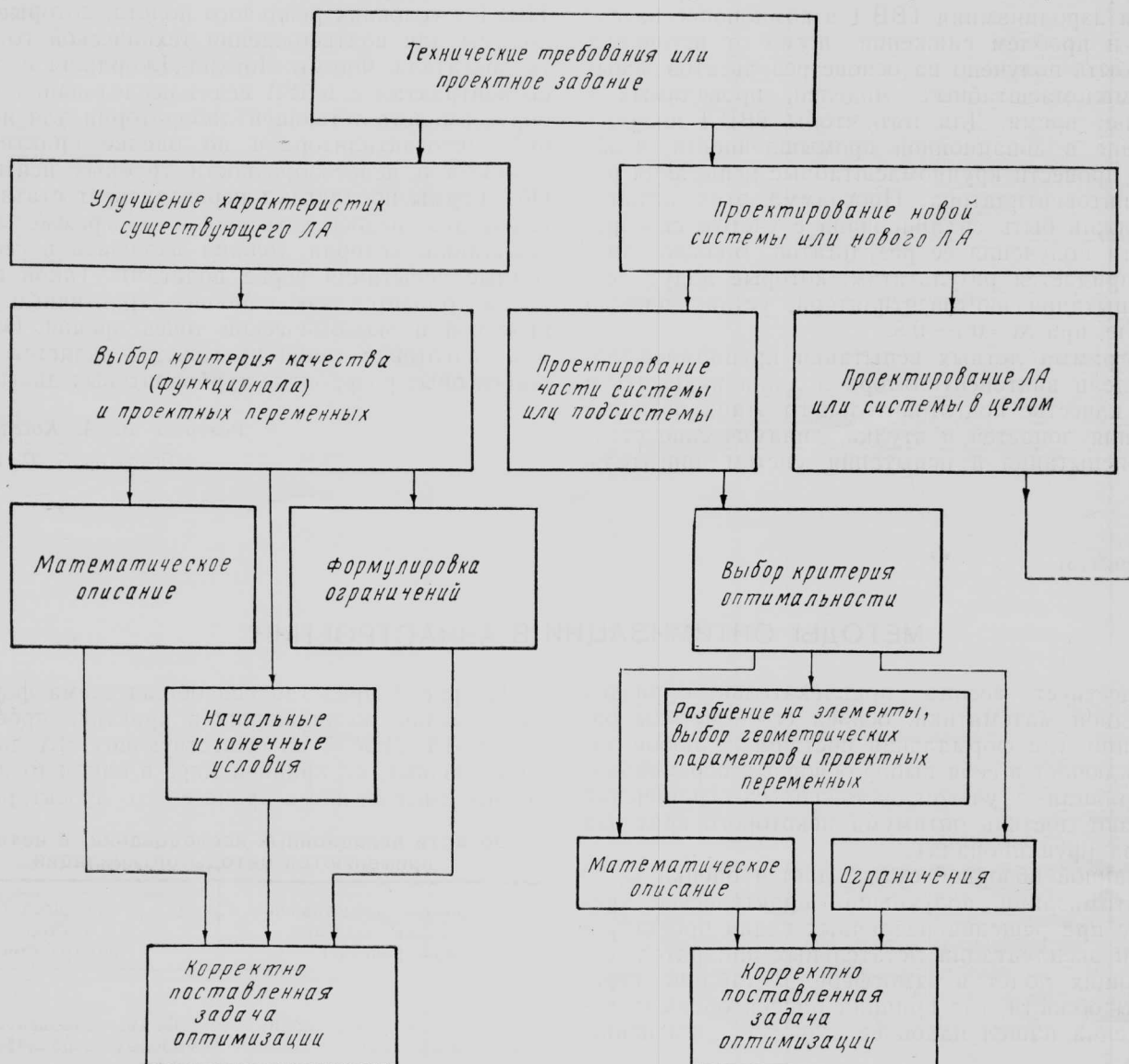


Рис. 1. Схема формализации проектирования летательных аппаратов

жения. Выбор наиболее подходящего материала не всегда является очевидным, особенно когда речь идет об учете назначения ЛА или когда разрабатывается новая система.

Среди всего множества параметров, определяющих систему, прежде всего выделяют те, которые не подлежат изменению («фиксированные» параметры). Проектными параметрами («управляющими» переменными) называют те, которые могут изменяться в процессе модификаций системы по мере ее приближения к оптимальному варианту. Эти N действительных чисел обычно представляются в виде N -мерного вектора-столбца D . Если оптимизация подлежит одна скалярная величина, то может быть выбран некоторый функционал M , являющийся однозначной функцией D , и, используя возможность изменения знака или обращения этой величины, без потери общности задача формулируется как задача минимизации:

$$M(D) \rightarrow \min.$$

Поиск минимума ведется в N -мерном пространстве, ограниченном Q «барьерами», вытекающими из физической сущности задачи. Во многих случаях, по крайней мере для довольно широкого класса задач оптимизации конструкций, эти ограничения имеют вид неравенств:

$$g_q(D) \geq 0, \quad q = 1, 2, \dots, Q.$$

Некоторые из функций g_q могут представлять собой линейные соотношения, учитывающие технологические ограничения минимальной или максимальной толщин поперечного сечения элементов конструкции. В более общем случае в числе ограничений могут присутствовать более сложные и иногда неявные функции D , вычисление которых подчас требует больших затрат машинного времени. Если рассматриваемая задача относится к области проектирования конструкций, то ограничениями такого рода могут быть: ограничения на статическую прочность и устойчивость элементов,

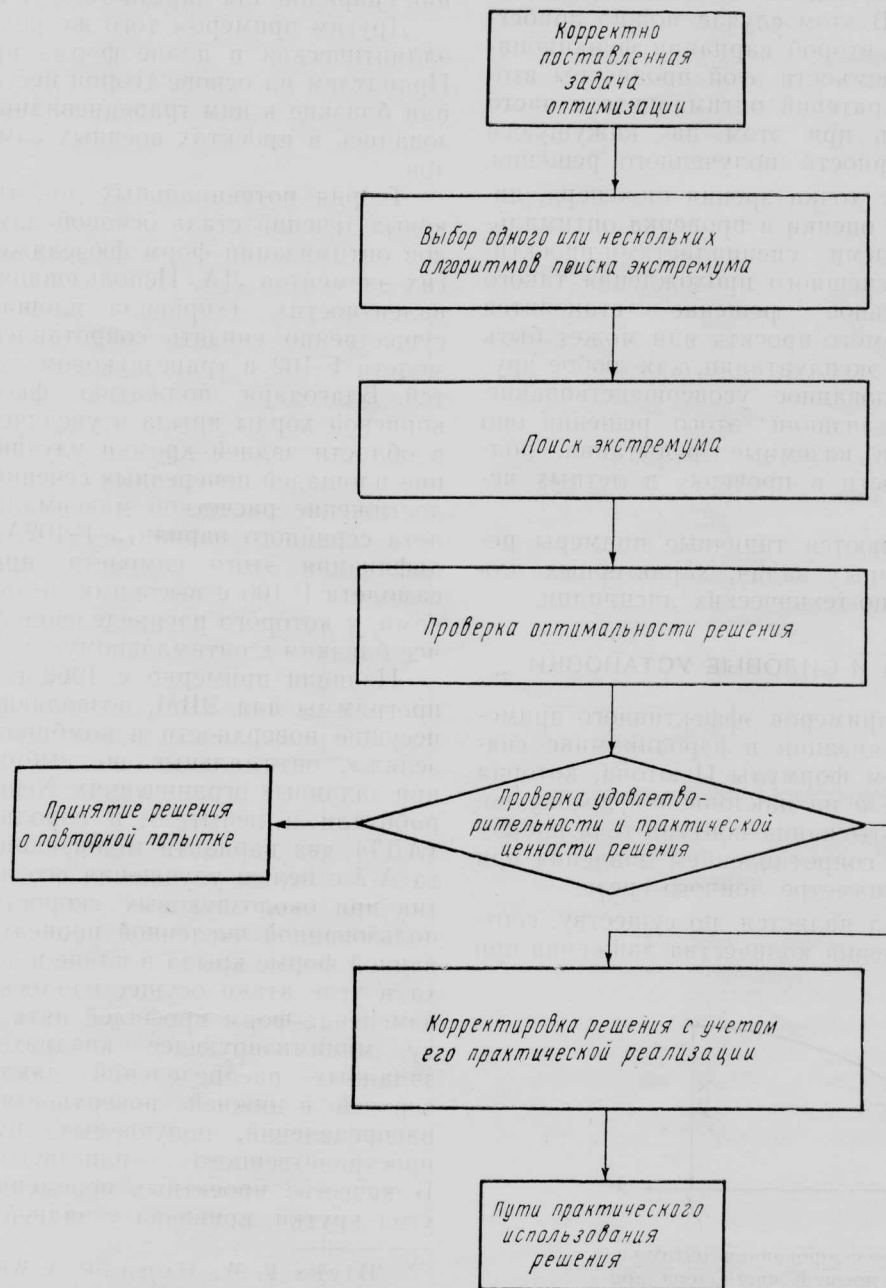


Рис. 2. Схема решения оптимизационной задачи

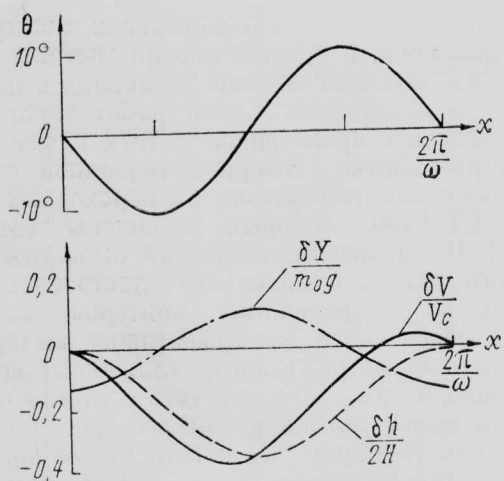


Рис. 6. Один цикл колебаний траектории при нестационарном оптимальном крейсерском режиме полета (θ — угол наклона траектории, Y — подъемная сила, V_c — скорость полета при стационарном крейсерском режиме, $H = 7,2$ км — высота однородной атмосферы)

качестве K в изотермических слоях стратосферы определяется формулой

$$L = V \cdot K \cdot P_{\text{уд}} \cdot \ln \frac{G_0}{G_1},$$

где V — истинная воздушная скорость, $P_{\text{уд}}$ — удельная тяга (в секундах), G_0 и G_1 — веса самолета в начале и в конце рассматриваемого участка траектории.

Анализ этой формулы приводит к заключению, что максимальной дальности при прямолинейной траектории соответствуют параметры режима полета в окрестности максимума произведения $V \cdot K \cdot P_{\text{уд}}$ (при условии отсутствия ветра). Однако в 1976 г. Спейером * эта, казалось бы, очевидная гипотеза была опровергнута. Путем анализа с привлечением вариаций второго порядка при некоторых вполне приемлемых допущениях относительно лобового сопротивления и удельной тяги было показано, что стационарный режим крейсерского полета большой продолжительности не является оптимальным и что оптимальное по расходу топлива решение может быть найдено в классе периодических режимов. Брекузл и Шоа ** в 1980 г. показали, что при постоянной удельной тяге, использовании обычной зависимости коэффициента сопротивления от скорости и высоты полета и синусоидальном изменении скорости, угла наклона траектории и других параметров может быть получена экономия расхода топлива на единицу дальности до 3% по сравнению со стационарным крейсерским режимом. На рис. 6 показан один цикл изменения переменных при оптимальном по расходу топлива периодическом режиме полета. Период колебаний равен 4,7 мин, что несколько больше удвоенного периода фугоидных колебаний самолета при наивыгоднейшей скорости $V_{\text{ст}} = 296$ м/с стационарного крейсерского полета на

* Speyer J. L. Non-optimality of the steady-state cruise for aircraft. AIAA Journal, 1976, v. 14, XI, N 11, p. 1604—1610.

** Breakwell J. V., Shoae H. Minimum fuel flight paths for given range. AIAA Paper N 80—1660.

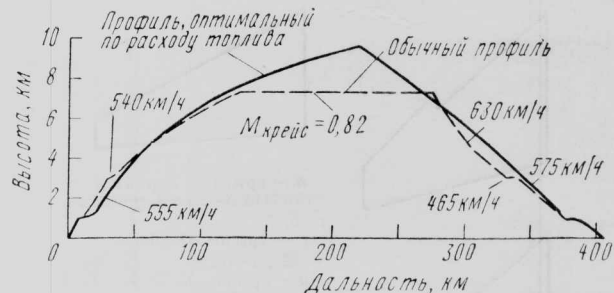


Рис. 7. Сравнение оптимального и обычного профилей полета для самолета DC-10 [экономия 450 кг топлива (10%) достигается ценой увеличения продолжительности полета на 2 мин (5%)]

высоте $h_{\text{ст}} = 10$ км. Однако для реализации такого режима полета потребовались бы такие изменения тяги, которые превышают возможности двигателей. Даже если допустить, что пассажиров устроят колебания ускорения с амплитудой 15% g , службы управления воздушным движением и технического обслуживания двигателей будут, вероятно, возражать против таких отклонений от эксплуатационных норм.

Следующим шагом в направлении улучшения планирования полетов является включение в область допустимых оптимальных режимов полета участков набора высоты и снижения. Особое значение это будет иметь для маршрутов малой и средней протяженности, на которых крейсерский режим полета может вовсе отсутствовать. Примером такого подхода является работа Эрцбергера и Ли *, в которой в качестве независимой переменной используется удельная энергия, а в качестве основной фазовой переменной — текущее расстояние до места назначения. При учете ограничений на характеристики силовой установки оптимальное решение, получаемое на основе принципа максимума, дает оптимальные изменения энергии во времени и, следовательно, оптимальную программу изменения тяги для участков набора высоты, установленногося крейсерского полета и снижения. При полной дальности полета менее 925 км высота крейсерского участка траектории может оказаться меньше оптимальной, но этот участок может отсутствовать в зависимости от наложенных ограничений на характеристики двигателей. Функционалом является взвешенная сумма расхода топлива и времени полета, и пользователь имеет возможность путем выбора весовых множителей видоизменять оптимальное решение в соответствии с тем, какому элементу прямых эксплуатационных расходов придается большее значение.

Этот алгоритм оптимизации был применен к анализу траекторий самолетов DC-10 и Боинг 727-100. При дальностях полета более 370 км оптимальный профиль полета самолета DC-10 может дать экономию 7—10% топлива по сравнению с обычно практикуемым профилем. Пример решения приведен на рис. 7. Сопоставление обычного и оптимального режимов полета было проведено при моделировании на пилотажном стенде. Данный оптимальный режим вполне приемлем для пассажиров и не предъявляет каких-либо чрезмерных

* Erzberger H., Lee H. Q. Constrained optimum trajectories with specified range. Journal of Guidance and Control, 1980, v. 3, I-II, N 1, p. 78—85.

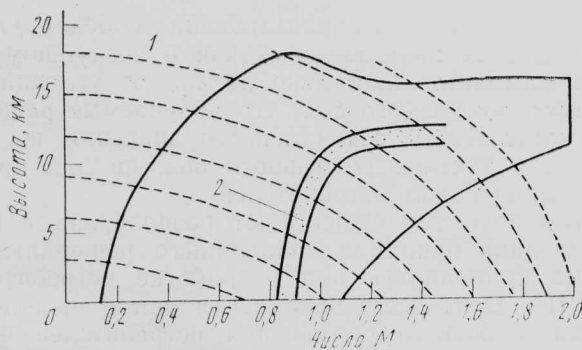


Рис. 10. Область максимальной маневренности истребителя (тиговооруженность 1, нагрузка на крыло $342 \text{ кг}/\text{м}^2$)

Линия, соединяющая максимумы этих кривых, и прилегающая к ней область значений ϕ и M соответствуют наибольшим угловым скоростям разворота с учетом ограничений.

В ином виде эта область показана на рис. 10. Очевидно, что в ходе развития воздушного боя каждый истребитель будет проявлять тенденцию смещения режима полета в свой «коридор максимальной маневренности» (затененная зона на рис. 10). Поэтому о превосходстве одного истребителя над другим можно судить путем сопоставления очертаний кривых равных удельных мощностей и относительного расположения «коридоров».

Боевыми задачами другого типа, для решения которых может привлекаться аппарат теории дифференциальных игр, являются задачи уклонения маневренного самолета от атаки управляемых ракет класса земля—воздух и воздух—воздух. В одной из работ на эту тему* задача об уклонении истребителя от атаки ракеты, наводимой по лучу, решалась с использованием метода скорейшего спуска. Рассматривалось движение в одной плоскости с постоянными скоростями. Предполагалось, что задача летчика состоит в максимизации минимального расстояния при сближении самолета и ракеты. В результате решения были получены противоречивые маневры, весьма похожие на тактические приемы, применяемые в реальных боевых условиях.

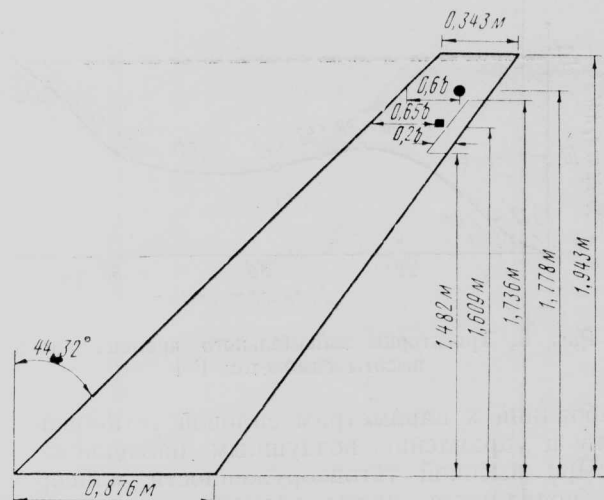
АКТИВНОЕ УПРАВЛЕНИЕ И НАВЕДЕНИЕ

Весьма плодотворным оказалось практическое применение методов современной теории оптимального управления к решению задач синтеза оптимальных линейных (линеаризованных) систем на основе квадратичных критериев качества (так называемый «линейно-квадратичный» синтез). Важным специальным случаем «линейно-квадратичного» синтеза являются фильтры Калмана — устройства, дающие оценку вектора состояния системы по критерию максимального правдоподобия при некоторых допущениях относительно статистических свойств возмущений. В статье Шмидта ** дает-

* Vachino R. F. and others. The application of the method of steepest descent to a pursuit-evasion problem. AIAA Paper N 68—878.

** Schmidt S. F. The Kalman filter: its recognition and development for aerospace applications.

Journal of Guidance and Control, 1981, v. 4, I-II, N 1, p. 4—7.



● — внешний акселерометр; ■ — внутренний акселерометр
Рис. 11. Схема гибкой модели крыла для испытаний в АДТ с противофлаттерной системой

ся общая характеристика развития этого направления в теории управления и той роли, которую оно сыграло при разработке современных ЛА. Подход к проектированию систем управления, основанный на оптимальных фильтрации и прогнозировании, оказался настолько эффективным, что он использован при создании навигационных систем ряда самолетов и космических ЛА, в частности на транспортном самолете С-5А.

Уже первый опыт разработки и применения фильтров Калмана показал, что в некоторых случаях подобные системы обнаруживают тенденцию к расходимости процессов управления, поэтому были предложены упрощенные схемы субоптимальных фильтров, которые наряду с общим упрощением систем обеспечивали их повышенную устойчивость («робастные» калмановские фильтры).

Рис. 11 является иллюстрацией к еще одному перспективному направлению развития современной теории управления — разработке оптимальных систем «активного управления». На рис. 11 показаны геометрия модели полукрыла большого удлинения, испытанной в трансзвуковой АДТ НИЦ им. Лэнгли (NASA) с рулевой поверхностью и датчиками противофлаттерной системы. В качестве датчиков использовались два вертикально ориентированных акселерометра. Небольшая рулевая поверхность модели была снабжена миниатюрным быстродействующим гидроприводом с полосой пропускания 5—40 Гц.

После испытаний модели на устойчивость с разомкнутым контуром системы были проведены испытания с включением двух вариантов системы подавления флаттера. При оптимизации закона управления был выбран подход, при котором вначале методом «линейно-квадратичного» синтеза рассчитывалась передаточная функция разомкнутой системы, обеспечивающая минимум отклонений рулевой поверхности при воздействии турбулентности атмосферы на расчетном режиме полета ($q=7,72 \text{ кПа}$, $M=0,9$). «Практическая» передаточная функция представлялась в частотной области в виде отношения полиномов с неизвестными коэффициентами. Для отыскания значений этих коэффициентов использовался алгоритм Дэвидо-



Рис. 12. Зависимости аэроупругого демпфирования модели крыла (отношения динамического давления q к амплитуде сигнала h внешнего акселерометра) от динамического давления в потоке АДТ

на — Флетчера — Паузелла, минимизирующий среднеквадратичную невязку между желаемой и действительной передаточными функциями при нескольких значениях частоты. Такой метод синтеза позволил построить систему, обеспечивающую значительное увеличение критической скорости флаттера. Как можно видеть на рис. 12, требовавшееся 44 %-ное увеличение критического динамического давления при $M=0,9$ было достигнуто.

ОПТИМАЛЬНОЕ ПРОЕКТИРОВАНИЕ КОНСТРУКЦИЙ ПРИ СТАТИЧЕСКОМ НАГРУЖЕНИИ

В первых применениях методов оптимизации к проектированию авиационных конструкций рассматривались задачи минимизации веса в простейших конструктивных схемах при одном или двух условиях нагружения. Накладывались ограничения на максимальные напряжения, геометрические параметры элементов и допустимые деформации.

Основные подходы и проблемы, связанные с практическим осуществлением численной оптимизации конструкций, могут быть продемонстрированы на примере 10-элементной плоской фермы, показанной на рис. 13. Предполагается, что стержни выполнены из алюминиевого сплава. Минимальная площадь поперечного сечения стержней принята равной $6,5 \text{ см}^2$, вертикальные перемещения узлов 1, 2, 3 и 4 ограничены диапазоном $\pm 5 \text{ см}$. На рис. 14 показано развитие процессов оптимизации этой конструкции, выполненных различными авторами с применением различных алгоритмов.

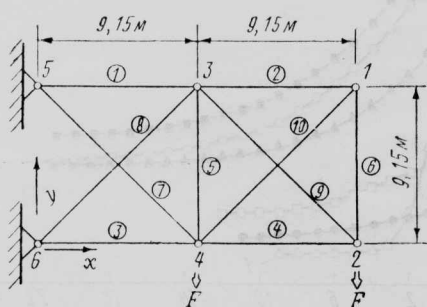


Рис. 13. Размеры и схема нагружения плоской 10-стержневой фермы (материал — алюминиевый сплав; $F = 4,45 \cdot 10^5 \text{ H}$)

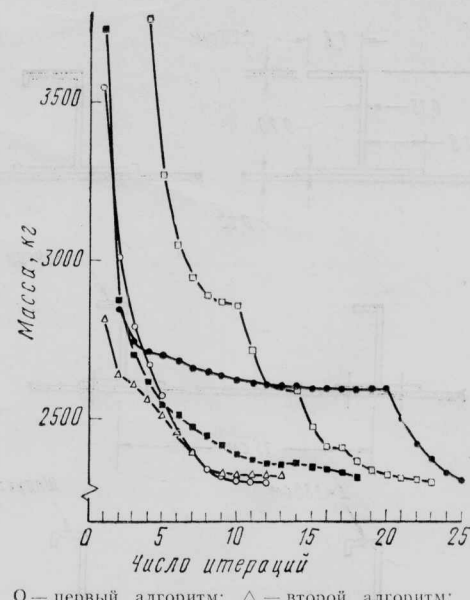


Рис. 14. Динамика изменения массы 10-стержневой фермы при ее минимизации с использованием пяти различных методов

В настоящее время разработаны процедуры оптимизации, отличающиеся от представленных на рис. 14 значительно большей скоростью приближения к экстремуму. В процессе совершенствования алгоритмов объемы вычисления на один итерационный цикл также существенно изменяются. Следует отметить, что различные алгоритмы дают несколько отличающиеся параметры сечений стержней. Так, например, четвертый алгоритм дал два слабонагруженных стержня с минимальной толщиной стенок, пятый — также два, но совершенно других, второй — один, первый — четыре. В то же время высоконагруженные стержни с номерами 1, 3, 4, 8 и 9 оказались практически идентичными. Несмотря на эти отличия все 5 алгоритмов дали близкие значения минимальной массы, колеблющиеся от 2303 до 2319 кг. Из этого примера можно сделать вывод о медленном изменении величины функционала на последнем этапе приближения к экстремуму.

В литературе можно найти немало примеров решения подобных простых задач и гораздо меньше таких примеров, где оптимизация дала существенный вклад в создание реальной сложной конструкции. Одним из таких примеров могут служить проведенные фирмой Локхид расчеты по проектированию основной конструкции фюзеляжа самолета С-5А минимального веса. В процессе оптимизации определялись толщина обшивки, расстояние между шпангоутами и стрингерами, размеры сечений шпангоутов и стрингеров. В качестве основных нагрузок рассматривались внутреннее давление, изгибающие моменты и перерезывающие силы. Учитывались также требования допускаемой повреждаемости. На рис. 15 приведены поперечные сечения элементов оптимизированной конструкции. С минимальными изменениями эта конструкция была реализована на серийном самолете С-5А.

На рис. 16 показано, как изменение расстояния между шпангоутами фюзеляжа С-5А влияет на величину веса, отнесенного к единице осевой силы

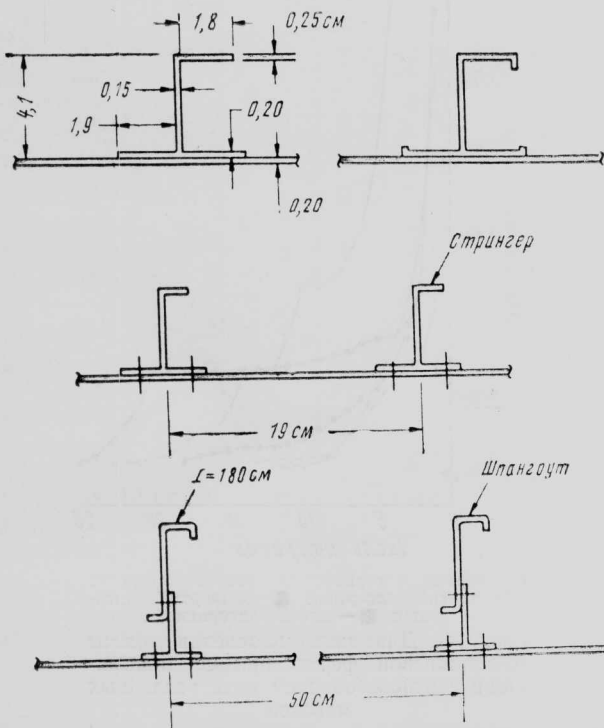


Рис. 15. Сечения элементов оптимизированной конструкции оболочки фюзеляжа самолета С-5А

F и единице потока касательных напряжений T . В результате многочисленных расчетов были выбраны оптимальное расстояние 50 см, а также размеры сечений (см. рис. 15). Аналогичный метод фирмой Локхид был положен в основу при проектировании крыла, оперения и фюзеляжа таких самолетов, как L-1011, C-141B, и в исследованиях по программе C-X.

Еще один иллюстративный пример оптимизации статически нагруженной конструкции приводится на рис. 17 и 18. Конструкция, в которой применяются композиционные материалы (КМ), пред-

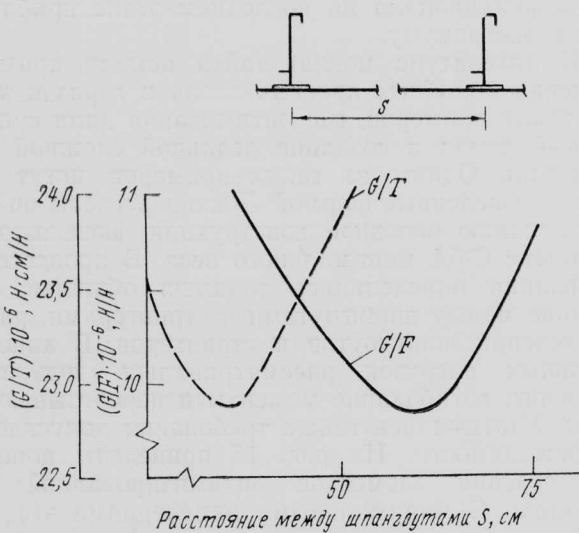


Рис. 16. Типичные зависимости веса конструкции фюзеляжа самолета С-5А, отнесенного к осевой нагрузке F (сплошная кривая) и к потоку касательных напряжений T (пунктирная кривая), от расстояния между шпангоутами

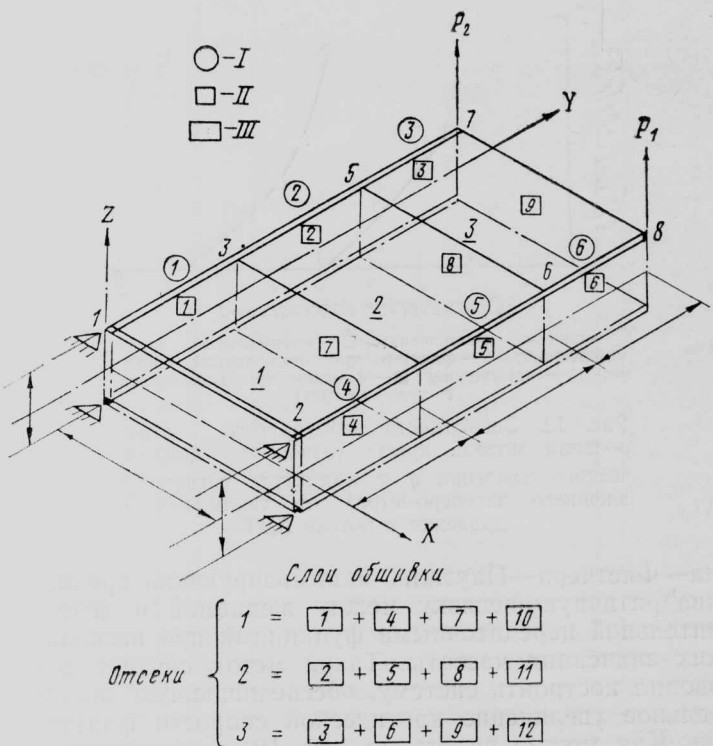


Рис. 17. Схема оптимизированной конструкции кессона крыла

ставляют собой часть кессона прямоугольного крыла. Рассматривались последовательно два условия нагружения: $P_1 \neq 0$; $P_2 = 0$ и $P_1 = 0$; $P_2 \neq 0$. Устанавливались ограничения на максимальные напряжения, выпучивание панелей и деформации в узлах. Для учета наличия КМ в расчетах рассматривались слоистые панели обшивки с ортотропными свойствами и заданной схемой укладки волокон. Всего, с учетом симметрии относительно средней горизонтальной плоскости, в данной конструкции насчитывалось 27 проектных переменных, из которых 6 связывались с подкрепляющими элементами, 9 — со стенками, работающими на сдвиг, и 12 — с панелями обшивки. Был применен метод «многоуровневой» оптимизации, позволивший избавиться от одновременного рассмотрения 28 проектных переменных. На рис. 18 представлены последовательности изменения массы по итерациям для

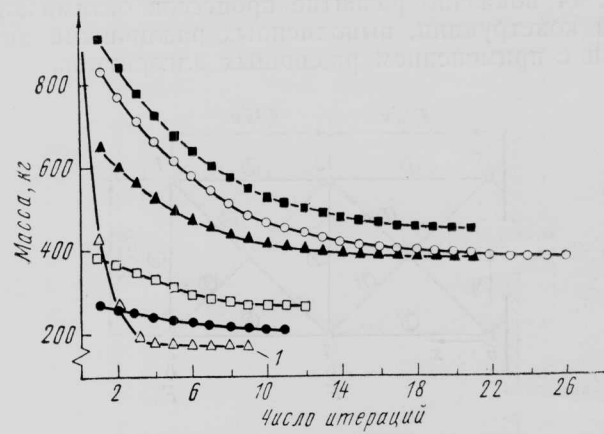


Рис. 18. Изменение массы кессона крыла, минимизируемой при различных ограничениях

$P_1 = 33\ 300$ Н, $P_2 = 66\ 500$ Н при полуразмахе крыла 4,82 м и хорде 2,54 м. Во всех случаях в качестве первого приближения выбиралась некоторая конструкция стандартного типа. Самая легкая конструкция, полученная при наименьшем числе итераций, соответствует нереалистическому случаю снятия ограничений на устойчивость панелей обшивки. В других вариантах рассматривались различные комбинации ограничений на выпучивание панелей и допустимую высоту сотового заполнителя в нижних и верхних панелях обшивки.

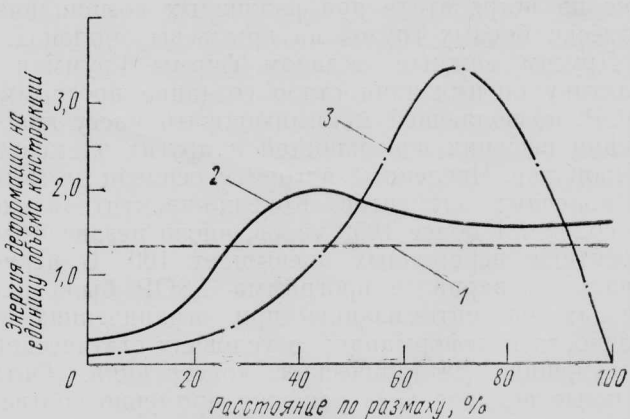
ДИНАМИЧЕСКИ НАГРУЖЕННЫЕ КОНСТРУКЦИИ, ПРОЕКТИРУЕМЫЕ С УЧЕТОМ ОГРАНИЧЕНИЙ ПО АЭРОУПРУГОСТИ

Важными для реальных самолетных конструкций являются их свойства, характеризующие аэроупругую устойчивость, т. е. сопротивляемость вибрациям, флаттеру и статическим аэроупругим деформациям (дивергенции).

Примером использования методов оптимизации с учетом требований к этим характеристикам может служить модификация управляемого (цельно-поворотного) стабилизатора самолета В-1 с целью улучшения его флаттерных характеристик. При изменении конструкции стабилизатора использовалась программа аэроупругой оптимизации STROP*. Основное требование, которое приближенно отражает аэроупругие свойства конструкции, но часто дает результаты, близкие к оптимальным, сводится к тому, чтобы распределение плотности энергии деформаций было близким к равномерному распределению по элементам конструкции, обеспечивающим ее жесткость при флаттерных формах деформации. Как показали испытания упругоподобной модели, стабилизатор самолета В-1, спроектированный на основе традиционной конструктивной схемы, обладал примерно вдвое меньшим, чем требовалось, критическим динамическим давлением на околозвуковых режимах полета.

Расчет по программе STROP начинается с балочной схематизации конструкции, в рамках которой определяется распределение материала в соответствии с требованиями прочности. После оценки критической скорости флаттера по модифицированной аэродинамической теории плоских сечений и анализа связанных форм колебаний определяются приращения толщин обшивки в тех местах, где удельная энергия деформаций имеет наибольшие значения. Следующий итерационный цикл начинается с пересчета флаттерных характеристик. Расчет продолжается до тех пор, пока не будет достигнут требуемый запас по критической скорости флаттера.

На рис. 19 показаны распределения безразмерной удельной энергии деформаций по размаху для трех различных случаев. Исходная конструкция представлена штрих-пунктирной кривой. Сплошная кривая соответствует субоптимальной модифицированной конструкции, которая удовлетворяет требованиям по статической прочности и флаттеру и для которой критическое динамическое давление на 33% превышает исходное. Такой результат до-



1 — идеальное распределение энергии, $V_{kp} = V_{tреб}$, $\bar{G} = 1,22$; 2 — субоптимальная конструкция, $V_{kp} = V_{tреб}$, $\bar{G} = 1,31$; 3 — исходная конструкция, $V_{kp} = 0,82V_{tреб}$, $\bar{G} = 1$

Рис. 19. Распределения безразмерной удельной энергии деформаций по размаху стабилизатора самолета B-1

стигнут ценой увеличения массы конструкции на 31%, однако в случае неоптимальной модификации стабилизатора путем пропорционального увеличения толщины всей обшивки потребовалось бы увеличение массы на 49%.

В опубликованных за последние 15—20 лет статьях предложен ряд более совершенных алгоритмов оптимального проектирования (оптимальной модификации) конструкций при доминирующем влиянии ограничений по флаттеру. Обычно исходят из интуитивного допущения, что изменение массы m_i каждого элемента конструкции, определяющего ее жесткость, пропорционально его влиянию на критическую скорость флаттера V_{kp} , измеряемому производной $\partial V_{kp}/\partial m_i$. Например, в одном из вариантов этого алгоритма, который фирмой Локхид используется уже на протяжении 20 лет, данный критерий весовой противофлаттерной эффективности элементов конструкции сформулирован в следующем виде (для случая, когда реализованная в конструкции величина V_{kp} равна требуемой и, следовательно, должна оставаться неизменной):

$$\{\Delta m_i\} \sim \left\{ \frac{\partial V_{kp}}{\partial m_i} \right\} - \left(\frac{[\partial V_{kp}/\partial m_i] \cdot \left\{ \frac{\partial V_{kp}}{\partial m_i} \right\}}{[\partial V_{kp}/\partial m_i] \cdot \{1\}} \right) \{1\},$$

где фигурными и квадратными скобками обозначены соответственно матрица-столбец и матрица-строка. Подобные соотношения используются также для определения элементов конструкции, увеличение массы которых дает наибольший эффект. Из этой формулы следует, что приращения масс Δm_i обращаются в нули, когда все элементы матрицы-столбца $\{\partial V_{kp}/\partial m_i\}$ становятся равными между собой.

В разработанной фирмой Грумман программе FASTOP подход, основанный на вычислении производных $\partial V_{kp}/\partial m_i$, положен в основу более сложного критерия оптимизации конструкции с учетом ограничений по деформациям, собственным частотам и аэроупругой устойчивости. Программа была успешно применена для решения такой сложной проблемы, как обеспечение требуемых запасов по флаттеру путем оптимального перераспределения

* Siegel S. A flutter optimization program for aircraft structural design.

AIAA Paper N 72—795.

можности полета с нулевой избыточной мощностью (развороты с постоянной угловой скоростью) с 8-кратной перегрузкой при $M=0,9$ на высоте 9 км. Одним из основных средств решения этой задачи было оптимальное распределение суммарной подъемной силы в направлении размаха в системе аэродинамически взаимодействующих крыла и оперения, поскольку только изменением распределения крутки за счет аэроупругих деформаций достичь этого было невозможно.

Фирма Рокуэлл является одной из наиболее активно работающих в области проектирования истребителей с КОС, при этом широко применяются методы оптимизации, обеспечивающие минимум массы конструкции и одновременное удовлетворение многочисленных ограничительных требований, из которых наиболее существенным является отсутствие дивергенции. На рис. 21 показан один из примеров конструктивной схемы КОС с нижней и верхней обшивками из графитоэпоксидного КМ. Как видно на рис. 22, в схеме укладки слоев КМ обшивки при отклонении на 9° ориентации волокон в 70% слоев от оси кессона удается получить скорость дивергенции КОС, близкую к скорости дивергенции прямого крыла такой же массы. Самой тяжелой из представленных на рис. 22 семи вариантов конструкции обшивки является конструкция из алюминиевых сплавов: ее масса более чем в 2 раза превышает массу обшивки оптимальной конструкции из КМ (вторая справа), для которой критическое динамическое давление дивергенции составило 124 кПа, что существенно больше заданного минимального уровня 95 кПа.

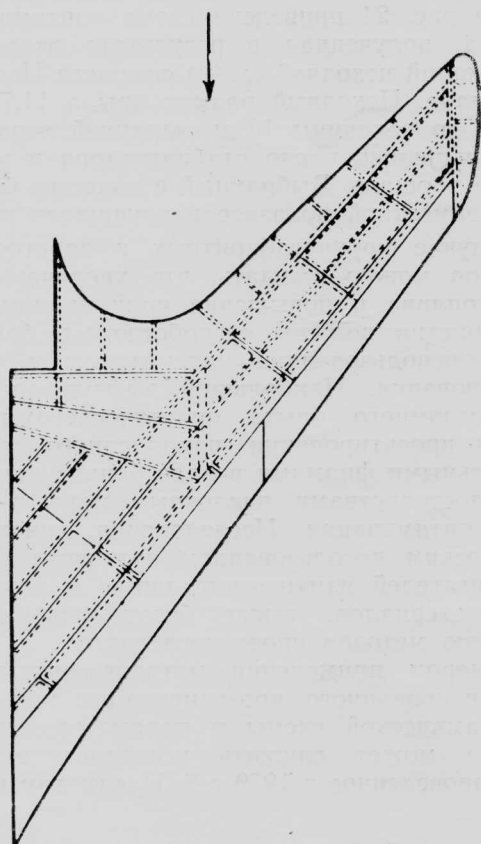


Рис. 21. Конструктивная схема крыла обратной стреловидности, исследованного фирмой Рокуэлл Интернешнл

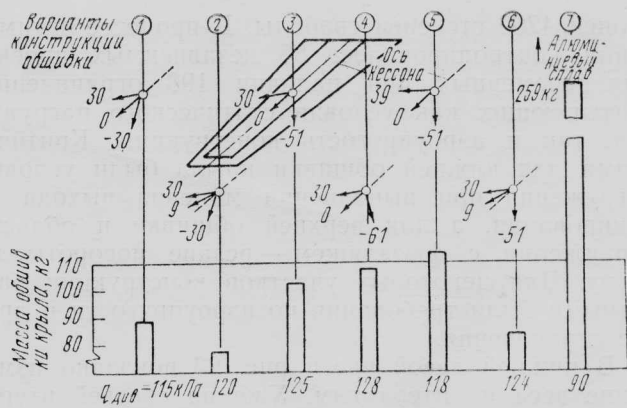


Рис. 22. Динамические давления дивергенции и массы семи вариантов конструкции обшивки крыла обратной стреловидности, исследованного фирмой Рокуэлл Интернешнл

Алгоритмы минимизации веса сложных силовых конструкций впервые были применены французской фирмой Дассо-Бреже при проектировании самолетов «Мираж» 2000 и «Мираж» 4000. Разработанный фирмой алгоритм базируется на конечно-элементном представлении конструкции, включающем порядка 5000 степеней свободы, подлежащих оптимизации. Алгоритм допускает наложение ограничений по напряжениям, местной потере устойчивости, деформациям, статической аэроупругости, частотам вибраций, динамическим реакциям и флаттеру. Подобно программе ACCESS и другим существующим в США аналогичным программам, в алгоритме фирмы Дассо широко используются группирование проектных переменных с целью уменьшения их количества, а также введение переменных, обратных «естественному», линеаризация ограничений и поиск экстремума методом сопряженных градиентов. Благодаря тому что в этих программах допускается подключение аппаратных средств машинной графики и постоянное совершенствование алгоритма метода конечных элементов, они завоевывают все большее признание проектировщиков. Стоимость расчетов, необходимых для получения оптимального результата, в 8—12 раз превышает стоимость расчетов при анализе только одного варианта.

На рис. 23 приведен пример конечно-элементной схематизации трехлонжеронного треугольного крыла (исследования фирмы Дассо-Бреже), содер-

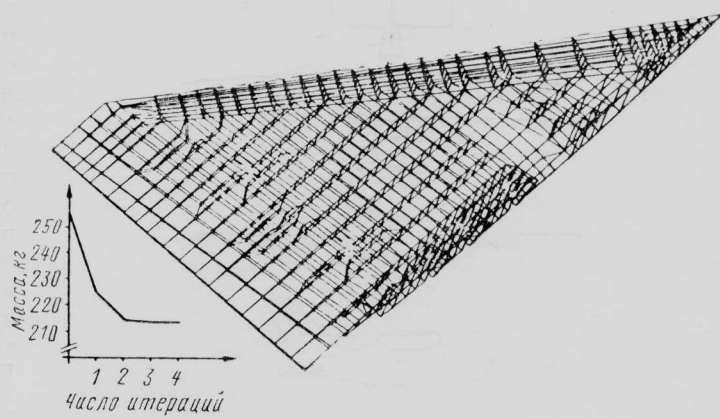


Рис. 23. Конечно-элементная схема трехлонжеронного треугольного крыла истребителя, спроектированного фирмой Дассо-Бреже с использованием программы оптимизации (слева показано изменение массы крыла по итерациям)

жащей 4269 степеней свободы. В процессе оптимизации контролировалось 88 независимых проектных переменных при наличии 198 ограничений, учитывающих как условия статического нагружения, так и аэроупругость конструкции. Критическими для нижней обшивки крыла были условия нагружения при выполнении маневра выхода из пикирования, а для верхней обшивки и области сопряжения с фюзеляжем — резкие повороты по крену. Для некоторых участков конструкции расчетными были требования по аэроупругости и другие ограничения.

В нижней левой части рис. 23 показано изменение веса по итерациям. Уже на третьей итерации была достигнута масса консоли крыла, равная 213 кг, что на 41 кг меньше исходной массы 254 кг. В оптимальном варианте конструкции масса материала оказалась перераспределенной в направлении к задней кромке и корневому сечению. Полученная оптимальная конструкция существенно отличалась от спроектированной на основе принципа равнопрочности.

Важной особенностью программы, применяемой фирмой Дассо-Бреже, является возможность использования диалогового режима, позволяющего оператору в ходе решения оценивать и воспроизводить на экране дисплея в табличной форме величины частных производных чувствительности функционала к малым вариациям проектных переменных при анализе ограничений. В одном из последних вариантов программы добавлена возможность максимизации коэффициентов безопасности при ограничении на общую массу конструкции.

ОПТИМИЗАЦИЯ АЭРОДИНАМИЧЕСКОЙ СХЕМЫ ЛА

Определение аэродинамической схемы, наилучшим образом отвечающей заданным требованиям к летным характеристикам, представляет собой весьма привлекательную сферу применения формальных методов оптимизации ввиду большого числа проектных переменных. Однако вследствие того, что органической составной частью процесса создания новой схемы ЛА (этапа предварительного проектирования) являются опыт конструктора, инженерная интуиция и другие «эвристические» компоненты, формальный подход к этой задаче

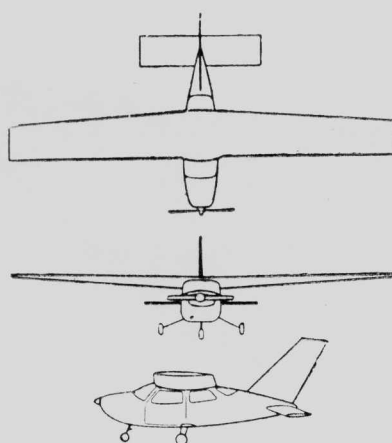


Рис. 24. Схема однодвигательного легкого самолета, оптимизированная по критерию минимума издержек владения

часто приводит к решениям, трудно реализуемым на практике.

Несмотря на скептическое отношение некоторых потенциальных пользователей к подобным программам оптимального проектирования, исследования в этой области продолжаются. Некоторые из результатов этих исследований показали возможность существенного улучшения летных характеристик существующих и перспективных самолетов.

Одним из первых удачных примеров применения оптимального проектирования была попытка разработки наилучшей схемы легкого однодвигательного самолета общего назначения, рассчитанного на частное пользование. В качестве функционала использовались суммарные издержки владения с 10%-ной скидкой при 10-летнем сроке службы самолета. Проектными переменными были мощность двигателя, длина фюзеляжа и пять размерных и безразмерных геометрических параметров крыла. Основным было требование, чтобы самолет ежегодно мог перевозить заданную полезную нагрузку на заданное общее расстояние. Накладывались ограничения на статическую устойчивость, момент площади вертикального оперения, дальность полета, скорость сваливания, угол набора высоты.

В программе AIDA II были использованы статистически представленные обширные данные по легким самолетам, имевшиеся на 1969 г. Изменения 68 независимых переменных в процессе поиска экстремума осуществлялись с использованием метода «линий обучения», в котором уменьшение числа итераций достигается за счет запоминания и последующего использования «удачных» вариаций. На рис. 24 приведена схема «оптимального» самолета, полученная в результате итеративных модификаций исходной схемы самолета Цессна 177 «Кардинал». Исходный размах крыла 11,7 м увеличился до величины 13 м, заданной ограничением, уменьшилось плечо стабилизатора и увеличилась его площадь. Выбранный в качестве функционала стоимостной показатель улучшился на 7,4%.

В случае крупногабаритных и дорогостоящих самолетов можно ожидать, что увеличение стоимости топлива и повышение роли экономических характеристик должны способствовать более широкому использованию математических методов проектирования. Наибольший эффект дает сочетание огромного опыта практического решения проблем проектирования, накопленного самолетостроительными фирмами в виде банков данных, со всеми достоинствами численных методов многомерной оптимизации. Исследования, связанные с практическим использованием активного управления, двигателей изменяемого цикла и композиционных материалов, также будут способствовать признанию методов проектного синтеза.

Примером применения методов оптимального автоматизированного проектирования при выборе аэродинамической схемы и параметров тяжелого самолета может служить исследование фирмы Boeing, проведенное в 1979 г.*. Предметом исследо-

* Jensen S. C., Rettie I. H., Barber E. A. Role of figures of merit in design optimization and technology assessment.

Journal of Aircraft, 1981, v. 18, II, N 2 p. 76—80.

Индекс 6183